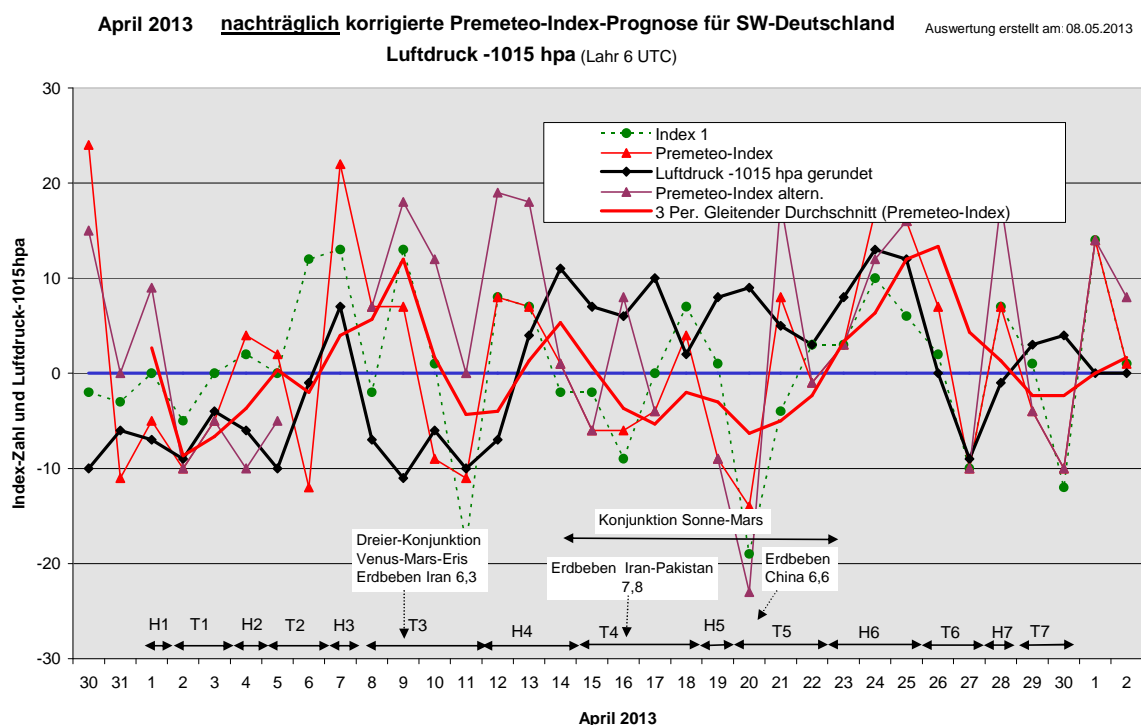
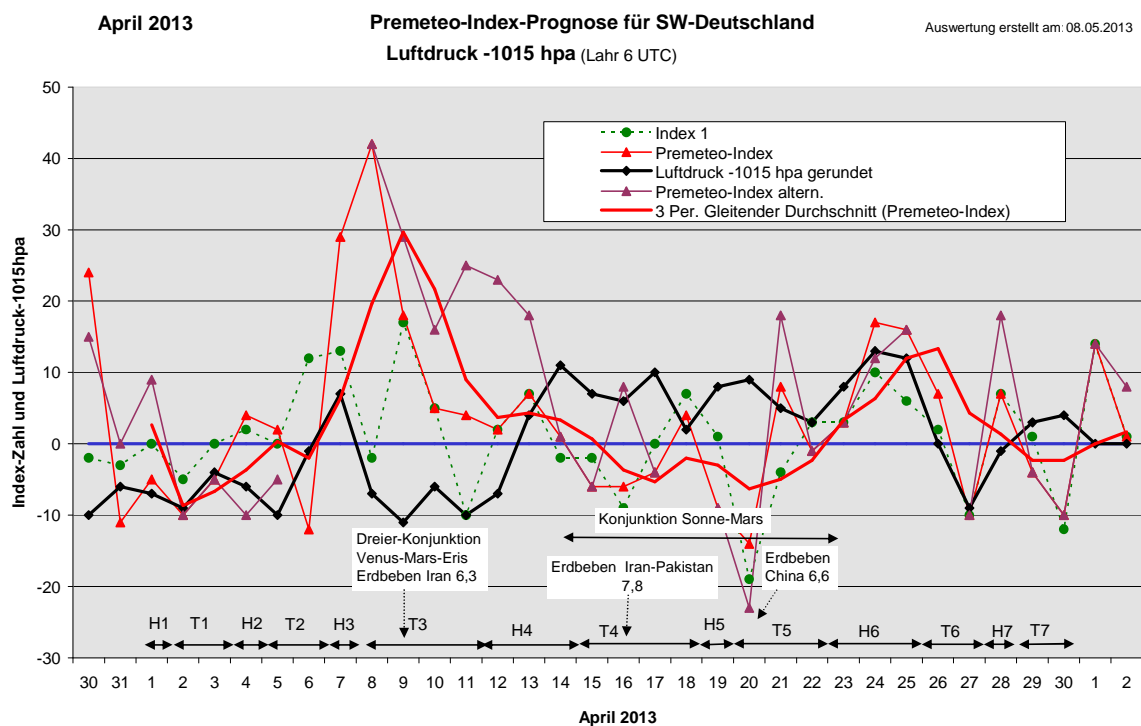


Wetterlagenverlauf April 2013 im Vergleich zur Pmeteo-Indexprognose für Südwest-Deutschland

(Im Diagramm sind über der Datumsachse die real eingetretenen Hoch- und Tiefdruckphasen durch Doppelpfeile eingetragen. Ausschlaggebend für die Evaluation ist der tägliche Premeteo-Index, in der dünneren, roten Linie mit Dreieckspunkten dargestellt. Ein negativer Premeteo-Index zeigt die Wahrscheinlichkeit für eine zyklonale Tiefdruckströmung, ein positiver Premeteo-Index die Wahrscheinlichkeit für eine antizyklonale Hochdruckströmung an.

Die Wetterlagenbeschreibungen wurden anhand der Berliner Wetterkarten erstellt. Ausschlaggebend ist die Europa-Bodenkarte um 0 UTC, die feiner skalierte 12 UTC-Karte von Mitteleuropa wird nur bei einem Wetterlagenwechsel für die Einordnung des Tages hinzugezogen.)



Hochdruckphase 1: Im April setzte sich zunächst die Großwetterlage von Ende März weiter fort. Ein kaltes Hochdruckgebiet über Skandinavien und eine Tiefdruckzone über dem Mittelmeer grenzten im Alpenraum aneinander. Südwestdeutschland lag mal im Isobarenbereich des Hochdruckgebiets, mal im Isobarenbereich des Tiefdruckgebiets. Der Luftdruck pendelte weiterhin um 1010 hpa. Am 1. April lag der Kern von Hoch Katrin in der Nordsee. Der Premeteo-Index hatte den Wert -5, der alternative Index durch die Symmetrie Pal 22,5 Ura Sed (06) H?*(4/2) 0 /+14 jedoch +9 und wäre damit zutreffender gewesen.

Tiefdruckphase 1: Am 2. April zog sich das Hoch über der Nordsee ein wenig nach Norden zurück, während sich Tief Fery über Korsika über die Alpen flach bis nach SW-D ausdehnte. Auch am 3. befand sich die Region noch im Isobarenbereich von Tief Fery, das sich über den Balkan verlagert hat. Bei uns bleibt es teilweise sonnig und es fällt kein Niederschlag. Der Premeteo-Index summerte auf -15.

Hochdruckphase 2: Am 4. überwog flach der Einfluss von Hoch Monika-Liebhild mit Kernen bei Island und über Westrussland. Im Laufe des Tages vollzieht sich ein Luftmassenwechsel. Die kalte maritime Arktikluft weicht einer Warmluftströmung aus dem Süden. Der Premeteo-Index lag bei +4.

Tiefdruckphase 2: Am 5. verstärkte sich wieder Tief Györgi über dem Golf von Genua und S-Frankreich und dehnte sich über Deutschland aus. Die Witterung blieb bei uns jedoch freundlich. Der Premeteo-Index war mit +2 flach positiv. Das kam von der Symmetrie Hau 3op Ven Eri (22) H ?* +7 / 0. Der alternative Index war korrekter, weil im Index 3 durch die Konjunktion Apo 0 Ves der T-Aspekt Ves 60 Eri T -5 ausgelöst wurde. Am 6. lag unsere Region noch im Strömungsbereich eines okkludierten Tiefs über dem Golf von Genua. Der Premeteo-Index summerte auf -10

Hochdruckphase 3: Am 7. erreichte gemäß dem Premeteo-Index Hoch Monika über dem Ärmelkanal unseren Raum. Der Premeteo-Index betrug +29.

Tiefdruckphase 3: Entgegen dem steigenden Premeteo-Index fiel am 8. der Luftdruck bereits wieder durch Tief Ingo, das sich vom Ostatlantik näherte. Allerdings hatte sich bei einem Premeteo-Index von +42 wenigstens auf 500 hpa für diesen einen Tag ein Hochdruckkeil ausgebildet. Eine hohe Indexzahl weist immer darauf hin, dass sehr viele Aspekte beteiligt sind und deren Wechselwirkungen mangels Erfahrung oftmals nur fehlerhaft umgesetzt werden können. Meist sind mehrere Aspekte durch die Beteiligung eines gleichen Planeten verknüpft und die Hierarchiefrage kann sehr komplex werden. Am 8. stellte sich die Hierarchiefrage zwischen den H-Symmetrien Hau 1op Son Ven und Hau 1op Son Mar zu dem T-Aspekt Son 135 Orc im Index 1. Offensichtlich war der direkt exakt werdende T-Aspekt der Sonne in der Bodenströmung der entscheidende Faktor, während die H-Symmetrien in der Höhenströmung präsent waren. Im korrigierten Index-Diagramm wurde dies berücksichtigt. Außerdem bestand am 8./9. April die Dreierkonjunktion Venus-Mars-Eris, die in ihren Einzelbestandteilen nur H-Aspekte enthielt, die angerechnet worden waren. Die Konzentration dieser drei Himmelkörper in diesem Raumbereich könnte als Gesamtkonstellation aber auch einen zyklonalen Impuls bedeuten. Oft schon traten Fehlprognosen bei Dreier-Konjunktionen auf. So war auch der 9. mit einem Premeteo-Index von +18 ein Fehlprognose Tag. Ab dem 10. bewegte sich der originale Premeteo-Index nur noch im flach positiven Bereich. Aber das korrigierte Index-Diagramm zeigt, dass er eigentlich tiefer im negativen Bereich verlief, weil am 10. vergessen worden war, die Auslösung Mar 30 Sed Tf -10 bei der Konjunktionssymmetrie Mar 2 Son Ven T H zu berechnen. Mar 30 Sed Tf zählt zu den Aspekten, die einen starken Lokalbezug zu Südwestdeutschland haben und er wurde am 11. um 7:39 UTC exakt gefolgt von Mar 90 Var T um 20:32 UTC. Im korrigierten Indexdiagramm wurde der zweite Mars-T-Aspekt zum 11.

dazugenommen und nicht wie in der Originalprognose zum 12. April. Der originale Premeteo-Index summierte auf +69 (!), der korrigierte auf +9.

Hochdruckphase 4: Am Vormittag des 12. April stellte sich die Strömung auf antizyklonal um. Es fielen noch Schauer, aber die Sonne setzte sich auch immer mal wieder durch. Hoch Walburga wanderte vom 13. bis 15. April mit seinem Kern von Südfrankreich nach Nordpolen und ließ endlich den Frühling in unsere Region einziehen. Der Premeteo-Index summierte auf +10.

Tiefdruckphase 4: Ab dem 15. bildet sich in der Bodenschicht eine flache zyklonale Strömung aus durch Tief Leo über dem NO-Atlantik, während auf 500 hpa eine flache antizyklonale Strömung vorherrschte. Entsprechend kommt es zu hohen Temperaturmaxima über 25°C. Im weiteren Verlauf sind es die Tiefe Michael und Nils, die weiterhin bis zum 18. einen nur flachen zyklonalen Einfluss auf SW-D ausüben. Über die ganze Phase wies die flache zyklonale Strömung einen relativ hohen Luftdruck auf und auf 500 hpa überwog eine flache antizyklonale Strömung. Der Premeteo summierte auf -12.

Hochdruckphase 5: Am 19. kam mit einem Tag Verspätung gegenüber dem Premeteo-Index unsere Region an den Ostrand des Hochs Oxana über dem Ostatlantik. Die Tagesmitteltemperatur war z. B. in Lahr um 6,5°C gegenüber dem Vortag gefallen und diese starke Abkühlung führte zu einer Absinkbewegung und Stabilisierung der Luftmasse über unserem Raum. Der Premeteo-Index lag bei -9.

Tiefdruckphase 5: Am Vormittag des 20. schwenkte die Strömung auf T-Odo über dem Golf von Genua ein und blieb mit ihr bis zum 22. verbunden. Der Premeteo-Index verlief ab dem 21. flach alternierend zwischen dem positiven und negativen Bereich. Über die ganze Phase summierte der Premeteo-Index auf -7.

Hochdruckphase 6: Am 23. dehnte sich Hoch Paula vom Ostatlantik nach Europa aus und wanderte bis zum 26. mit seinem Kern über die Alpen bis Balkan. Es kam zu nachmittäglichen Höchsttemperaturen um 26°C. Der Premeteo-Index summierte auf +36.

Tiefdruckphase 6: Am 26., noch bei einem flachen Premeteo-Index von +7, stellte sich bis zum Mittag die Strömung auf die Tiefdruckströmung Randolph über Südkandinavien ein, am 27., bei einem Premeteo-Index von -10 reichte eine Tiefdruckrinne von NW-Russland über Deutschland bis nach Portugal und brachte starke Niederschläge. Der entscheidende Aspekt war Mars 60 Nep Tf -10 um 1:48 UTC. Der Premeteo-Index summierte auf -3.

Hochdruckphase 7: Am 28. bildete sich im Laufe des Tages durch Hoch Quirina vom Atlantik her eine flache Hochdruckzone über Deutschland aus. Die Atmosphäre hatte sich stark abgekühlt und es blieb durchgehend dicht bewölkt aber niederschlagsfrei. Der Premeteo-Index betrug +7.

Tiefdruckphase 7: Die letzten beiden Tage des Monats wurden von einer flachen zyklonalen Strömung über den Alpen und vom Mittelmeerraum (Tief Torsten) her bestimmt. Es gab nur geringfügige Niederschläge und eine leichte Erwärmung. Der Premeteo-Index summierte auf -14.

Zusammenfassung:

Der April 2013 war mit 10 Fehlprognosetagen bezüglich der Strömungsform ein nur durchschnittlich gelungener Prognosemonat.

Dass er nicht besser ausfiel, lag an der schwierigen Konstellation zwischen dem 8. und 11., als Venus, Mars und Eris eine Dreierkonjunktion bildeten, der starke Tiefdruckaspekt Mars 30° Sedna dabei das ganze Geschehen fokussierte und alle mit der Konjunktion verbundenen H-Aspekte dominierte. Dies erscheint nachträglich

einleuchtend, war aber in der Prognosesituation schwer zu durchschauen. Das korrigierte Diagramm zeigt, wie der Premeteo-Index bei Berücksichtigung dieser Tatsache verlaufen wäre. Siehe Text der Wetterlagenbeschreibungen.

Ein schweres Erdbeben ereignete sich im Iran, als die Dreierkonjunktion am exaktesten war.

Eine weitere Besonderheit des Monats war die lang anhaltende Konjunktion von Sonne und Mars im 1°-Exaktheitsbereich, mit der zwei weitere starke Erdbeben im Grenzbereich von Iran-Pakistan und in China verbunden waren. In diese Phase fielen auch die dramatischen Ereignisse in den USA mit dem Boston-Attentat und der katastrophalen Explosion einer Düngemittelfabrik in Texas.

Bei der Symbolprognose gab es nur zwei ganz falsche Tage, 10 Tage waren genau zutreffend, aber 18 Tage waren nur tendenziell richtig und zwar war es meist etwas bewölkt, mit größerer Regenneigung als prognostiziert.

SW-D befand sich an 11 Tagen im Einflussbereich antizyklonaler Strömung. Die Summe des prognostizierten Premeteo-Index für diese Tage ergibt +92, was einer Indexzahl von +8,36 pro Tag entspricht.

An 19 Tagen befand sich SW-D im Einflussbereich zyklonaler Strömung. Die Summe des prognostizierten Premeteo-Index für diese Tage ergibt +6, was einer Indexzahl pro Tag von +0,32 entspricht.

Die Prognose durch die Premeteo-Wettersymbole war an 2 Tagen falsch (am 8. und 9.), an 10 Tagen richtig und an 18 Tagen tendenziell richtig.

Auf den folgenden Seiten, sind die Tabellen wiedergegeben, die den beiden Diagrammen zugrunde liegen.

| | | | | | | | | | |
|------------|---------------------------------------------------------------------------------------------------------------------------------------------------------------------------------------------------------------------------|--|--|--|--|--|--|--|--|
| 08.05.2013 | Die erste Hälfte des Monats zeichnet sich durch eine enge Positionierung von Sonne, Venus, Mars und schließlich noch Merkur aus. 9. bis 10. Dreifachkonjunktion Venus-Mars-Eris. 14. bis 19. Sonne Konjunktion Mars | | | | | | | | |
| April 2013 |  Prognose für SW-Deutschland | | | | | | | | |

| 01.04.2013 | | | | | | | | | |
|------------------------------------------------------------------------------------------------------------------------------------------------------------------------------------------------------------------------------------------|---------------------------------------------------------------------------------------------------------------------------------------------------------------------------|-------------------------------------------------------------------------------------------------|----------------------------------------------------------------------------------------------------------------------------------------------------------------------------------------------------------------|----------------------------------------------------------------------------------------------------------------------------------------------------------------------------------------------------|-------------------------------------------------------------------------------------------------------------------------------------------------------------------|---------------------------------------------------------------------------------------------------------------------------------------------------------------------------------------------------|---------------------------------------------------------------------------------------------------|-----------------------------------------------------------------------------------------------------------------------------------------------------------------------------------|---------------------------------------------------|
| Langsamläufer-Impulse | T* | | H* | | H* | | H* | 2 H* | |
| Schnellläufer-Impulse | | | H, T | | T | 3H, Hf, T | H, T | H | 4H, 2T |
| Temperaturimpulse | W | W | | | | K | W | K, W | w? |
| Premeteo-Index -zyklonal, +antizyklonal (Index 1+2+3) | -5 | -10 | -5 | 4 | 2 | -12 | 29 | 42 | 18 |
| PreJX (ALTERNATIV) | 9 | | | -10 | -5 | | | | 29 |
| Index 1 (12 - 12 UTC) exakte Aspekte des Tages | 0 | -5 | 0 | 2 | 0 | 12 | 13 | -2 | 17 |
| Index 1(ALTERNATIV) | | | | | | | | | 5 |
| Symmetrien (0 - 0 UTC) | | | | | | | | | |
| Ga7 67 Nep Hau (00) ? --- Pal 22 Ura Sed (06) H7(42) 0+14 Mak 15op Ven Mer (14) T --- Chi 35 Mar Jun (19) H Qua 19 Ven Cer (18) A* H* +7? Eri 9 Ven Pal (19) H A* +7? Son 4 Mar Ura (22) T W H K +7? | Eri 9 Son Pal (12) H A* +7? Hau 20p Mar Mer (03) H Hau 20p Mar Mer (13) A ? --- Ven 7 Ura Eri (14) T H --- Sel 36 Mar Cer (20) T --- H W +7/-7 | Ura 23 Pal Mer (03) H Hau 20p Mar Mer (13) A ? --- Ven 2 Son Mar (22) A W H W +7/-7 | Sed 37 Ven Cer (05) T GSZ 15p Ven Mer (17) T K-7 Mar 166 Orc GSZ (20) T T-7 Chi 7 Nep Mer (19) H7(10) A +7? Hau 30p Ven Eri (22) H ? --- Ves 30 Var Sed (19) A* A* T7 (0.5/4)-14 | Son 7 Ura En (04) H T 15p Ven Mer (17) Mar 72 Jun Cer (11) H T T-7 Chi 7 Nep Mer (19) H7(10) A +7? Hau 30p Ven Eri (22) H ? --- Ves 30 Var Sed (19) A* A* T7 (0.5/4)-14 | Ven 2 Son Cer (08) A T 15p Ven Mer (02) A A* H* +7? Sed 31 Ves Eri (16) A* ? T --- Eri 31 Sed Mer (20) T W H A- Hau 30p Son Ven (23) H H +14 | Son 36 Chi Sed (01) ? --- Ven 2 Son Cer (08) A T 15p Ven Mer (02) A A* H* +7? Sed 31 Ves Eri (16) A* ? T --- Eri 31 Sed Mer (20) T W H A- Hau 30p Son Ven (23) H H +14 | Hau 30p Son Mer (10) A* +7? Ven 1 Mar Eri (13) H W H +14 Hau 30p Son Ven (23) H H +14 | Sat 135 Ves Mer (03) A* A W? H- Ura 15 Ven Mer (06) T K A- Eri 0 Ven Mar (12) H A* +7? Son 72 Jun Cer (13) A A W T- --- GSZ 70p Ura Mer (19) H7(31) A +7? | |
| Index 2 (12 - 12 UTC) | 0 | 0 | 0 | 7 | 7 | -28 | 7 | 35 | 0 |
| Index 2 ALTERNATIV | 14 | | | -7 | 0 | | | | 0 |
| ausgelöste LL-Aspekte | Ves 60 Erl T-5 | Ves 60 Erl T-5 | Ves 60 Erl T-5 | Ves 60 Erl T-5 | Ves 60 Erl T-5 | Mar 45 Nep H4 | Mar 72 Jun H4 Ves 144 Kn1 H5 | Mer 30 Erl H1 Eri 30 Sed H7(30) 0+11 | Erl 30 Sed H7(30) 0+11 |
| Index 3 (Summe) | -5 | -5 | -5 | -5 | -5 | 4 | 9 | 9 | 1 |
| Index 3 ALTERNATIV | | | | | | | | | 0 |
| Symbol-Prognose | 3 | 5 | 3 | 3 | 3 | 3 | 2 | 2 | 11 |
| Symbol-Prognose altern. | 3 | 5 | 3 | 5 | 3 | 3 | 2 | 2 | 2 |
| Wochentag | Mo | Di | Mi | Do | Fr | Sa | Su | Mo | Di |
| Datum | 1 | 2 | 3 | 4 | 5 | 6 | 7 | 8 | 9 |
| reale Wetterlage | H1: - / 5 | T1: T* / 15 | | H2: H*, H-T / +4 | T2: 2T- H*, Hf, SH / -12 | H3: H-T / +29 | T3: ?*, Tf, ST - 3H*, H7*, 7H / +69 | | |
| Lufdruck (hpa) 06 UTC | 1008,5 | 1006,4 | 1011,2 | 1008,8 | 1005,1 | 1014 | 1021,7 | 1008,4 | 1004,4 |
| mittl. Temp.(°C) | 3,7 | 3 | 4,4 | 5,5 | 3,9 | 4,7 | 5,3 | 6 | 8,5 |
| Sonnenscheindauer (h) | 11,5 | 8,2 | 0,6 | 9,4 | 4,6 | . | 2,6 | 0,7 | 2,6 |
| Niederschlag (Liter) | . | . | . | . | . | . | 0,0 | 0,8 / 1 | 6 / 5 |
| Bodenwetterlage 00 UTC (Kernlage des Druckgebietes, das SW-D beeinflusst) | H ü Nsee | T ü Korsi, H ü N-Nsee | H ü Balk, H ü S-Skand | H ü W-R u bei Island T ü Balearen | T ü GG, S-F okki T ü GG T ü Karp T ü Nm | H ü Ärmel | H ü Polen, T sw Irland | T s Irland | T ü Niederl., H ü S-F |
| Bodenströmung 12 UTC zyklonal (z), antizyklonal (a) | a-z | a-z | fl a-z | a-z | a-z | a-z | a | z | fl a |
| Strömung auf 500 hpa 00 UTC | NW z | W z | NO a-z | SW z | S a-z | fl z | SW z | a | SW fl z |
| zutreffende Wettersymbole | 2 hr | 2-5 hr | 5 hr | 3 r | 3-5 hr | 5 hr | 2-5 hr | 5 f | 5 hr |
| 01:54 | 08:25 | 05:43 | 01:48 | 01:49 | 04:59 | 03:12 | 00:04 | 01:13 | |
| Übertrag Index und Index2 0 | MER 144 EL6 FIS 13*4302* WAA 19*4302* A W | SON 144 KN1 WID 12*4522* SKO 18*4523* A | VES 0 APO ZWI 22*4423* ZWI 22*4423* A* | MAR 135 ORC WID 18*2019* JUN 03*2020* A | VEN 150 KN1 WID 18*3332* SKO 18*3333* WAA 19*3653* H+ 45 | VEN 0 MAR WID 18*5746* SKO 18*5746* H W +4 | SON 150 KN1 WID 18*2701* SKO 18*2700* A K | PAL 144 FY9 STI 04*2758* JUN 28*2757* A* H+2 | VEN 90 VAR WID 23*2914* KRE 23*2913* H+2 |
| 03:06 | 10:53 | 07:49 | 02:01 | 09:04 | 23:31 | 11:11 | 00:58 | 03:36 | |
| SON 90 PLU | VES 60 ERI WID 11*3304* STE 11*3304* A | WID 22*0948* WID 22*0949* T*-5 | PAL 150 GSZ VES 30 SED STI 02*1514* STI 23*0057* | MAR 150 KN1 WID 18*3652* FIS 19*3652* WAA 19*3653* H+ 45 | MER 150 EL6 WID 18*1758* FIS 22*1344* WID 22*1344* A | MER 30 ERI FIS 22*1406* WID 22*1407* H+ 4 | SON 0 ERI WID 22*1406* WID 20*2556* A | SON 72 JUN | |
| 10:32 | | 09:50 | 09:51 | 10:43 | | 22:19 | 02:32 | 05:12 | |
| VEN 144 KN1 | | MER 45 PAL | MAR 150 KN1 | MAR 45 NEP | SON 135 ORC FIS 22*1344* WID 22*1407* H+ 4 | SON 72 CER WID 19*1400* KRE 01*1400* A W | MER 60 SED FIS 23*0334* STI 23*0333* A* | MER 60 D ERI FIS 23*0334* WID 22*1454* STI 23*0333* A* | |
| WID 12*4817* SKO 18*4816* A | | FIS 17*1736* STI 02*1736* SKO 18*3539* | WID 18*3540* WID 19*2301* FIS 04*2301* | A H+10 | | | | | |
| 12:26 | | 10:30 | 12:33 | 11:23 | | 23:41 | 03:56 | 05:31 | |
| SON 60 JUP | | MAR 72 CER | MER 120 KN1 | MER 72 JUN | NEP 60 PAL | SON 45 NEP | MER 135 SAT | | |
| WID 11*5605* ZWI 11*5604* A W | | WID 17*5109* FIS 18*3519* ZWI 29*5110* | WID 19*2417* SKO 18*3518* WAS 07*2417* | T-4 | A H+4 | FIS 04*2731* STI 04*2730* | FIS 24*3304* SKO 09*3303* | MER 60 SED FIS 23*0344* STI 23*0343* A W? | |
| 12:51 | | 17:42 | 12:07 | | 17:57 | 04:29 | 09:52 | | |
| PLU 60 CHI | | MER 30 MAR | VED 135 ORC WID 19*3652* FIS 18*3652* WAA 19*3653* A* (3/3) | VED 135 ORC WID 19*3652* FIS 18*3652* WAA 19*3653* A* | MER 45 JUN FIS 23*0957* WAS 08*0957* H--- | MER 45 JUN FIS 23*0957* WAS 08*0957* H+1 | | | |
| 20:26 | | 21:21 | 17:47 | | 20:12 | 05:20 | 21:39 | | |
| VEN 72 JUN | | PAL 120 ORC WID 18*1941* JUN 03*1940* | WID 19*3628* KRE 00*1650* JUN 03*1906* | A H+5 | VEN 45 NEP WID 19*2344* FIS 04*2333* T --- | VEN 144 KN1 WID 19*3330* KRE 23*2918* WAA 19*3330* A* | MER 90 APO FIS 23*1809* ZWI 23*1810* T -1 | VEN 144 KN1 WID 19*3330* KRE 23*2918* WAA 19*3330* A* | |
| 22:03 | | 22:04 | 17:57 | | 21:21 | 06:15 | 23:00 | | |
| VEN 180 EL6 | | SED 30 APO STI 23*0207* ZWI 23*0206* | WID 19*3616* WAA 19*3615* H+4 | A* | VEN 30 APO WID 23*0359* STI 23*0357* | MER 72 PLU FIS 23*3501* SITE 11*3502* | MER 72 PLU FIS 23*3501* SITE 11*3502* | MER 72 PLU FIS 23*3501* SITE 11*3502* | |
| 22:04 | | 22:05 | 18:47 | | 22:05 | 06:59 | 10:19 | | |
| SAT 135 VES | | | | | | | | | |
| SKO 09*3455* ZWI 24*3455* | | | | | | | | | |
| 22:40 | | | | | | | | | |
| JUN 135 APO | | | | | | | | | |
| WAS 08*2232* ZWI 23*2232* | | | | | | | | | |
| 23:05 | | | | | | | | | |
| VEN 60 APO | | | | | | | | | |
| WID 23*2237* ZWI 23*2239* | | | | | | | | | |
| 23:05 | | | | | | | | | |

April 2013



Prognose für SW-Deutschland

| Langsamläufige-Impulse | ?", H?" | | H" | | | H" | | H", T" | T" | T" | |
|--------------------------------------------------------------------------------|-------------------------------------------------------------------|----------------------------|---------------------------------|----------------------------------------------------------------------|-----------------------------------------------------------------------------------------------------------------------------------------------|--------------------------------------------------------------------------|-----------------------------------------------------------------------------------------------------|------------------------------------------------------------------------------------------------------------------|---------------------------------------------------------------------------------------------------------------------------|------------------------------------------------|----|
| Schnellläufiger-Impulse | Tf, 3T | T, H | H | 2T | H | 3H, 3T | T | T, 2H | H, 2T | T | |
| Temperaturimpulse | | W | W | | | K | K | 2W | W, W" | | |
| Premeteo-Index -zyklonal + antizyklonal (Index 1+2+3) | 4 | 2 | 7 | 1 | -6 | -6 | -4 | 4 | -9 | -14 | |
| Pre.IX (ALTERNATIV) | 25 | 23 | 18 | | | 8 | | | | -23 | |
| Index 1 (12 - 12 UTC) exakte Aspekte des Tages | -10 | 2 | 7 | -2 | -2 | -9 | 0 | 7 | 1 | -19 | |
| Index 1(ALTERNATIV) | 0 | 12 | | | | | | | | | |
| Symmetrien (0 - 0 UTC) | Eri 1 Son Mar (06) H A" +7 Mer 89 Ves GaZ (07) H T A"-?7 | | Son 1 Mar Eri (04) T W H +?7 | Mar 2op Mak GSZ (08) H A +7 Ven 10op Sat Hau (19) A K H +?7 | Ven 8 Pal Eri (05) A H +?7 Mar 4 Ves Eri (17) H A" +?7 Pal 15 Sed Eri (18) H?"(30) 0" +?7 Cer 8op Plu Qua (23) A" H" +?7 | Ven 22 Ura Sed (09) HT(42) 0"14 Sat 144 Jup Mer (12) A" H H +?7 | Son 5 Ven Eri (04) A W H +?7 Mer 23 Mar Chi (09) (+14) H Er 72 Jun Cer (22) A" T" -7 | Cer 7op Plu Qua (05) A H" +?7 Ven 5 Mar Pal (05) H W A +?7 Hau 10op Son Ura (23) H H?"(5/1,5) +?7 | Ven 60 Nep Cer (01) H W A W T" W" -14 Son 10op Sat Hau (01) H H +?7 Hau 10op Mar Ura (05) A H?"(5/1,5) +?7 | | |
| | | | | | | | | | | | |
| Index 2 (12-12 UTC) | 14 | 0 | 0 | 7 | 0 | 7 | 0 | -7 | -14 | 0 | |
| Index 2 ALTERNATIV | | | | | 21 | | | | | | |
| ausgelöste LL-Aspekte | Eri 30 Sed H?"(30) 0/11 | Eri 30 Sed H?"(30) 0/11 | Eri 30 Sed H?"(30) 0/11 | Mar 60 Ves T-4 | Mar 60 Ves T-4 | Mar 120 GaZ T-4 | Mar 120 GaZ T-4 | Mar 150 Mak H4 | Mar 150 Mak H4 | Mar 45 Jup T-4 Ura 144 Orc H?"(63,5) +?0 | |
| | | | | | | | | | | | |
| Index 3 (Summe) | 0 | 0 | 0 | -4 | -4 | -4 | -4 | 4 | 4 | 5 | |
| Index 3 ALTERNATIV | 11 | 11 | 11 | | | | | | | -4 | |
| Symbol-Prognose | 3 | 3 | 3 | 3 | 3 | 3 | 3 | 3 | 3 | 5 | |
| | 2 | 2 | 2 | 3 | 3 | 3 | 3 | 3 | 3 | 5 | |
| Wochentag | Do | Fr | Sa | Sa | Mo | Mo | Di | Mi | Do | Fr | Sa |
| Datum | 11 | 12 | 13 | 14 | 15 | 16 | 17 | 18 | 19 | 20 | |
| reale Wetterlage | | H4: H", 2H - 3T / +10 | | | T4: T", ST - 2H", 6H / -12 | | | | H5: H-T", 2T / -9 | T5: -- | |
| Luftdruck (hpa) 06 UTC | 1005,3 | 1007,9 | 1018,9 | 1025,5 | 1022,1 | 1020,6 | 1024,8 | 1017 | 1023,4 | 1023,9 | |
| mittl. Temp.(°C) | 13 | 11,5 | 12,1 | 17,3 | 18,6 | 17,4 | 18,2 | 18 | 11,5 | 8,7 | |
| Sonnenscheindauer (h) | . | 4,1 | 6,1 | 10,5 | 10,6 | 6,1 | 10,2 | 4,2 | 0,7 | . | |
| Niederschlag (Liter) | 15 / 20 | 0,2 / 2 | 0,1 / 1,5 | . | 0,1 | . | . | 0,5 / 0,5 | 0,0 | 0,7 / 0,5 | |
| Bodenwetterlage 00 UTC (Kernlage des Druckgebiets, das SW-D beeinflusst) | H ü O-Alp, T ü Ärmel u O-Atl | T ü Irl u N-D | H ü S-F | H ü Alpen | H ü N-Polen, T zw Isl u Schottl | Okkl-Rinne ü SW D | fl H-p ü Alp, H ü SW-R, T w Biskaya | T ü Schottl | Azorenhoch | H ü SW GB, T ü GG | |
| Bodenströmung 12 UTC zyklonal (z), antizyklonal (a) | z | fl a | a | fl a | fl z | fl z | fl z | z | fl z | O z | |
| Strömung auf 500 hpa 00 UTC | fl a | SW a-z | W fl z | NW a | SW a | W fl a | W fl a | SW a | SW a-z | S z | |
| zutreffende Wettersymbole | 5 hr | 3 r | 3 r | 2 hr | 2 hr | 3 r | 2-3 r | 3 r | 5 hr | 5 r | |

| | | | | | | | | | | |
|----------------------------------------------------------------|---------------------------------------------------------|----------------------------------------------------------------|----------------------------------------------------------------|-----------------------------------------------------|-----------------------------------------------|----------------------------------------------|-----------------------------------------------|-----------------------------------------------|-----------------------------------------------|--|
| 04:05 | 00:10 | 00:01 | 00:00 | 01:42 | 03:20 | 02:09 | 00:21 | 03:17 | 00:49 | |
| NEP 135 EL6 FIS 04'31"16' WAA 19'31"16' ? | MAR 60 APO WID 23'36"18' ZWI 23'36"19' T-2 / 0 | MER 180 FY9 FIS 28'23"47' WID 28'22"44' JUN 28'23"45' | VEN 150 FY9 FIS 28'23"47' WID 28'22"44' JUN 28'23"45' | CER 60 ORC KRE 03'12"51" JUN 03'12"50' | MER 135 KN1 WID 03'01"35" SKO 18'01"34' | SON 45 CHI WID 27'14"03" SKO 12'14"04' | SON 0 MAR WID 28'08"20" STI 04'44"02" | VEN 60 NEP WID 28'08"20" STI 04'44"02" | MER 144 ORC WID 09'09"45" JUN 03'09"47" | |
| 07:39 | 00:29 | 03:36 | 10:21 | 05:57 | 04:53 | 03:09 | 04:32 | 05:15 | 06:11 | |
| MAR 30 SED WID 23'05"02" STI 23'05"02" TI -10 / 0 | SON 0 ERI WID 22'16"05' WID 22'16"04' H +6 | SAT 150 URA SKO 09'20"42' WID 09'20"42' | MAR 120 QUA WID 25'26"17' SKC 25'26"18' | SON 120 QUA WID 25'25"55' SKC 25'25"56' | MER 144 SAT WID 03'27"29" SKO 09'07"28' | VEN 150 GSZ WID 03'21"54" H +1 | SON 150 FV9 WID 28'18"33" STI 09'24"31" | PAL 45 APO WID 28'18"33" ZWI 24'24"31" | SON 45 JUP WID 09'24"31" ZWI 15'19"48" | |
| 08:55 | 03:11 | 06:29 | 17:19 | 15:05 | 06:05 | 05:15 | 04:54 | 10:15 | 07:33 | |
| VEN 60 VES WID 25'07"25' ZWI 25'07"24' A" | CER 90 GSZ KRE 02'15"13" KRE 23'29"38' A" | SON 90 VAR WID 23'29"38" KRE 23'29"38' | VEN 45 JUP WID 29'16"20' ZWI 14'16"20' | MER 180 GSZ WID 02'15"14" ZWI 14'16"20' | MER 150 ORC WID 03'12"03" JUN 03'12"04' | MER 30 NEP WID 04'41"06" FIS 04'41"06" | MAR 150 FV9 WID 08'10"43" STI 23'10"42" | MER 45 SED WID 08'10"43" ZWI 28'16"29" | VES 90 FV9 WID 23'10"42" T-5 | |
| 12:56 | 07:55 | 10:31 | 17:29 | 18:31 | 06:42 | 05:15 | 04:54 | 10:15 | 07:33 | |
| URA 144 ORC WID 09'15"17' JUN 03'15"17' H?"(6/0,5) +9 | VES 180 QUA ZWI 25'27"11' JUN 25'27"11' A" | SAT 90 JUN SKO 09'19"28" WAS 09'19"28" | CER 135 KN1 KRE 03'06"03" SKO 18'06"03' | MER 72 JUP WID 28'22"11" ZWI 14'22"11' | MAR 60 VES WID 26"49"56" ZWI 26"49"56" | JUN 72 ER1 WAS 10'19"31" ZWI 22"19"31" | SAT 180 PAL SKO 08'58"07" STI 08'58"07" | SAT 180 PAL FIS 04'44"46" KRE 04'44"45" | NEP 120 CER WID 09'44"38" WID 09'44"39" | |
| 15:23 | 20:01 | 13:27 | 21:35 | 10:00 | 14:14 | 06:01 | 07:43 | 14:59 | 09:21 | |
| VEN 120 QUA WID 25'27"27' SKC 25'27"27' T-2 | VEN 120 GaZ WID 26"56"07" SKC 26"56"06' A | VEN 60 APO WID 23"46"43" ZWI 23"46"42" A W | APO 144 KN1 WID 24"02"20" SKO 18"02"20" | MAR 120 GaZ WID 26"56"09" SKC 26"56"08' | JUN 45 QUA WAS 10'24"48" SKC 25"24"48" | JUP 144 SAT WID 03"11"03" A" | SAT 180 PAL FIS 04'44"46" KRE 04'44"45" | Ura 30 PAL WID 09"42"52" STI 09"42"51" | MER 30 PAL WID 10"05"14" STI 10"05"14" | |
| 20:32 | 20:52 | 14:41 | 21:36 | 11:36 | 21:12 | 10:15 | 20:17 | | | |
| MAR 90 VAR WID 23'29"25' KRE 23'29"25' T -8 / 0 | SON 30 SED WID 23"06"04" STI 23"06"05' | URA 60 JUN WID 09"22"15" WAS 09"22"15" | SAT 135 APO SKO 09"06"14" ZWI 24"06"14" | MAR 120 ORC WID 03"11"03" JUN 03"11"03" | JUN 45 CHI WID 27"14"03" A?"(12,65) | CER 72 ERI WID 22"20"18" T -5 | MER 150 SAT WID 08"51"19" SKO 08"51"20" | | | |
| 23:13 | 21:42 | | 13:43 | VES 180 GaZ ZWI 26"56"08" SKC 26"56"08' A" | | | 18:51 | | | |
| MER 90 GaZ FIS 26"56"06" SKC 26"56"06' T -1 | VEN 45 CHI WID 27"01"19" FIS 12"01"19" | | 14:15 | MER 90 CER WID 03"43"16" KRE 03"43"15" | | | 23:09 | | | |
| | | | | H K +1 | | | | | | |
| | | | 18:49 | | | | | | | |
| | | | 19:03 | | | | | | | |
| | | | 20:36 | | | | | | | |
| | | | 21:43 | | | | | | | |

MAR 45 CHI
WID 27"13"12"
FIS 12"13"11"
H ...

PAL 144 GSZ
STI 08"15"13"
WAA 02"15"13"
H" +5

SON 60 VES
WID 27"03"13"
ZWI 27"03"13"
T -3

April 2013



Prognose für SW-Deutschland

| Langsamläufer-Impulse | H*, T* | | 2H* | H* | | | | | | |
|--------------------------------------------------------------------------|----------------------------------------------------------------------------------------------------------------------------------------------------------------------------------------------------------------|---------------------------------------------------------------------------------------|-------------------------------------------------------------------------------------------------------------|----------------------------------------------------------------------------------------------------------------------------------------------|------------------------------------------------------------------------------------------------|------------------------------------------------------------------------------|---------------------------------------------------------|---------------------------------------------------------------------------------------------|-----------------------------|------------------|
| Schnellläufer-Impulse | | H | 2H | T | 2H | T | Tf, H | T, H | 2T, H | 2T, Tf, Hf, H |
| Temperaturimpulse | W | K | | 3W, K | | | W | | W?, K, W | |
| Premeteo-Index - zyklonal + antizyklonal (Index 1+2+3) | 8 | -1 | 3 | 17 | 16 | 7 | -10 | 7 | -4 | -10 |
| Pre.IX (ALTERNATIV) | 18 | | | 12 | | | | 18 | | |
| Index 1 (12 - 12 UTC) exakte Aspekte des Tages | -4 | 3 | 3 | 10 | 6 | 2 | -10 | 7 | 1 | -12 |
| Index 1(ALTERNATIV) | 1 | | | 5 | | | | | | |
| Symmetrien (0 - 0 UTC) | Mer 9op Hau GSZ (01) H A +7 Sat 2op Ven Pal (03) A +9 H +7 Qua 10 Jup C (03) A*(106) H +7 Son 9 Pal Er (09) A H +7 Son 22 Ura Sed (11) H? (4/2) ... Sed 22 Mar Jup (14) T --- Ven 15 Sed Eri (15) H?*(30) 0/14 | Eri 10 Son Mer (03) H H +7 Eri 9 Mar Mer (12) A H +7 Mar 22 Ura Sed (13) H?*(4/2) ... | Hau 3op Eri Mar (04) H A +7 Mer 6 Ura Er (04) A H +7 Sed 37 Ves Mer (11) H --- Sat 4op Son Pal (20) H H +7? | Sat 4op Son Ven (00) H A +7 Mer 35 Chi Sed (04) 0 Ven 136 Mak GaZ (11) A W T? 0 Pal 136 Mak GaZ (16) A* A* T? 0 Sat 4op Mar Pal (22) A H +7? | Mak 135 Pal Jun (12) H W H W +7? Ven 9 Mar Sed (13) A* A* H --- Ven 8 Son Sed (21) A W H W +7? | Son 15 Sed Eri (00) 7 --- Son 10p Sed Mer (02) T --- Mer 14 Son Ura (17) T 0 | Mer 72 Jun Cer (10) A T -14 Sat 10p Son Mar (15) H A +7 | Hau 9op Ura Mer (15) H?*(5/1) H +7? Mer 9op Sat Hau (22) H +7? Ven 4 Pal Sed (22) A H W +7? | | |
| Index 2 (12 - 12 UTC) | 7 | 0 | 0 | 7 | 0 | 0 | 0 | 0 | -7 | 0 |
| Index 2 ALTERNATIV | 21 | | | | | | | | | |
| ausgelöste LL-Aspekte | Mar 45 Jup T-4 Ura 144 Orc H?*(6/0,5) 9/0 | Mar 45 Jup T-4 | | Pal 120 Plu H5 Jun 90 Pal H5 | Jun 90 Pal H5 | Eri 30 Sed H?*(3/0) | Ven 135 GSZ H2 | Ven 135 GSZ H2 | | |
| Index 3 (Summe) | 5 | -4 | 0 | 0 | 10 | 5 | 0 | 0 | 2 | 2 |
| Index 3 ALTERNATIV | -4 | | | | | 11 | | | | |
| Symbol-Prognose | 3 | 3 | 3 | 2 | 2 | 3 | 3 | 3 | 3 | 5 |
| 3 | 3 | 3 | 2 | 2 | 3 | 3 | 2 | 3 | 3 | 5 |
| Wochentag | So | Mo | Di | Mi | Do | Fr | Sa | So | Mo | Di |
| Datum | 21 | 22 | 23 | 24 | 25 | 26 | 27 | 28 | 29 | 30 |
| reale Wetterlage | 2T*, T - H / -7 | | H6: 3H*, 4H - T / +36 | | T6: Tf, T - H / -3 | | H7: H, T / +7 | T7: Tf, T4 - Hf, 2H / -14 | | |
| Luftdruck (hpa) 06 UTC | 1019,7 | 1018,1 | 1022,7 | 1027,7 | 1026,5 | 1015,3 | 1006,3 | 1014,3 | 1018,1 | 1018,5 |
| mittl. Temp.(°C) | 10,1 | 11,3 | 13,2 | 14,7 | 16,9 | 14,9 | 7,8 | 8,2 | 10,1 | 10,6 |
| Sonnenscheindauer (h) | . | 0,8 | 8,6 | 12,5 | 13,2 | 1,2 | . | 0,1 | . | . |
| Niederschlag (Liter) | . | 0,0 | . | . | . | 23 / 23 | 10 / 19 | 0,1 | 0,4 | 0,1 / 1,5 |
| Bodenwetterlage 00 UTC (Kernlage des Druckgebiets, das SW-D beeinflusst) | T ü GG H ü Osee | fl T ü D fl T ü GG | H ü O-Alpen | H ü Alpen | H ü Alpen | H ü Balk, Tief ü Skand | T-Rinne von NW-R ü g D bis T ü Portugal | H ü Nn-All, T ü N-Polen | T-Ausläufer ü Alpen, T ü Nm | T ü W-Mm, T ü Nm |
| Bodenströmung 12 UTC zyklonal (z), antizyklonal (a) | a-z | a-z | fl a | a | a | fl z | z | fl a | a-z | a-z |
| Strömung auf 500 hpa 00 UTC | SO fl z | a-z | NO fl a | fl a | a | SW fl a | SW z | SW a-z | SW a-z | SW a-z |
| zutreffende Wettersymbole | 5 hr | 5 hr | 2 hr | 2 r | 2 r | 5 hr | 5 hr | 5 hr | 5 hr | 5 r |

| | | | | | | | | | | |
|-----------------------------------------------|----------------------------------------|----------------------------------------|----------------------------------------|-----------------------------------------|----------------------------------------------------------|------------------------------------------------------|---------------------------------------------|-----------------------------------------|-----------------------------------------|-------|
| 04:05 | 00:43 | 03:13 | 03:26 | 06:17 | 02:12 | 01:48 | 03:13 | 00:58 | 00:58 | 00:58 |
| MAR 45 JUP STI 00*30'29" ZWI 15*30'29" T -4 | MER 30 CHI WID 12*28'16" FIS 12*28'17" | SON 120 ORC JUN 03*08'07" H +3 | MER 60 JUP WID 16*05'44" AW | VEN 90 JUN WAS 12*17'58" A | MAR 144 FY9 STI 04*11'11" A | MAR 60 NEP STI 04*55'08" FIS 04*55'08" TIW -10 | MER 30 SED STI 23*17'08" FIS 04*57'37" T -1 | VEN 72 NEP STI 16*57'37" A? W? | JUP 150 KN1 ZWI 17*12'24" SKO 17*17'24" | |
| 04:39 | 04:32 | 06:54 | 05:48 | 06:37 | 06:53 | 08:29 | 07:00 | 03:37 | 01:41 | |
| PAL 135 QUA STI 10*22'50" SCH 25*22'50" H* +5 | MER 72 APO WID 12*44'22" ZWI 24*44'22" | VEN 45 APO SON 144 FY9 STI 04*21'51" A | MER 72 VES WID 18*05'24" JUN 28*12'50" | MER 45 NEP KRE 00*05'26" | QUA 180 APO MER 90 VAR SCH 25*18'54" FIS 04*54'06" T --- | MER 90 VAR WID 25*11'24" ZWI 25*18'54" KRE 23*34'46" | MER 72 JUN WID 25*11'24" WAS 13*11'24" A? | MER 120 GaZ WID 26*56'15" SCH 26*56'13" | | |
| 08:51 | 04:34 | 07:41 | 08:00 | 06:59 | 19:36 | 16:14 | 08:28 | 03:52 | 11:27 | |
| MER 60 JUN WID 11*21'46" WAS 11*21'46" A* | PLU 30 JUN STE 11*33'51" WID 09*54'07" | VEN 30 URA PAL 135 GzZ STI 09*54'09" | PLU 135 GzZ STI 11*56'11" | PLU 135 ORC WID 18*07'02" JUN 03*07'03" | PAL 135 FY9 STI 13*10'34" A* | MER 0 ERI WID 22*26'17" A* | SON 180 SAT WID 22*26'17" H +6 | VEN 30 JUP STI 08*12'48" H +2 | SON 30 URA STI 17*06'33" T K --- | |
| 11:48 | 05:30 | 12:03 | 15:44 | 09:32 | 22:49 | 16:49 | 09:27 | 04:56 | 11:27 | |
| MER 90 PLU WID 11*34'05" STE 11*34'03" | SON 150 GSZ WAA 02*15'12" | MAR 150 GSZ WAA 02*15'12" | VEN 120 PLU STI 11*33'04" | VEN 0 PAL STI 12*27'59" | CHI 30 JUN FIS 12*41'31" | SON 60 CER STI 07*34'47" | SON 144 GSZ WAA 02*15'12" | MER 120 QUA WAA 02*15'12" | SON 135 QUA SCH 25*17'34" SCH 25*16'38" | |
| 12:55 | 07:44 | 13:01 | 15:44 | 12:43 | | A* | A* | A* | A* | |
| CER 144 JUN VEN 180 SAT | PAL 72 VAR STI 08*40'12" | STE 11*33'26" STI 11*32'35" | VEN 62 VAR STI 11*33'04" | VEN 60 CHI STI 12*37'48" | VEN 60 CHI FIS 12*37'48" | VEN 45 VES STI 16*17'39" | SAT 120 CER SKO 08*08'40" | MER 45 CHI WID 27*50'31" | | |
| 14:14 | 13:41 | 15:58 | 17:51 | | | A* | A* | A* | A* | |
| 23:38 | | 16:29 | 21:13 | 22:00 | 23:34 | | | | | |
| VEN 144 GSZ STI 08*15'12" WAA 02*15'13" A W | VEN 135 QUA STI 10*21'19" | PAL 90 JUN STI 02*15'13" | MAR 120 ORC STI 03*07'21" | CHI 60 PAL STI 12*38'22" | CHI 60 PAL FIS 12*38'22" | JUN 135 FY9 WAS 13*08'44" | VEN 135 GSZ STI 17*15'11" | MER 150 FVY WAA 02*15'12" | Gsz 45 KN1 WID 25*32'07" | |
| 23:43 | | 17:32 | 22:00 | 23:34 | | | | | | |
| JUN 45 GaZ A | SON 60 NEP WAS 11*56'11" | VEN 135 GzZ STI 04*52'17" | VEN 135 FY9 STI 13*11'17" | JUN 28*11'33" A | JUN 28*11'33" A | JUN 135 FY9 STI 17*15'11" | VEN 135 GSZ STI 17*15'11" | MER 150 FVY WAA 02*15'12" | Gsz 45 KN1 WID 25*32'07" | |
| 23:58 | | 20:00 | 23:34 | | | | | | | |
| JUN 45 GaZ A | SON 60 NEP WAS 11*56'11" | VEN 135 GzZ STI 04*52'17" | VEN 135 FY9 STI 13*11'17" | JUN 28*11'33" A | JUN 28*11'33" A | JUN 135 FY9 STI 17*15'11" | VEN 135 GSZ STI 17*15'11" | MER 150 FVY WAA 02*15'12" | Gsz 45 KN1 WID 25*32'07" | |
| 24:03 | | 23:44 | 23:34 | | | | | | | |
| JUN 45 GaZ A | SON 60 NEP WAS 11*56'11" | VEN 135 GzZ STI 11*56'12" | VEN 135 FY9 STI 19*18'18" | JUN 28*11'33" A | JUN 28*11'33" A | JUN 135 FY9 STI 17*15'11" | VEN 135 GSZ STI 17*15'11" | MER 150 FVY WAA 02*15'12" | Gsz 45 KN1 WID 25*32'07" | |
| 24:08 | | 23:44 | 23:34 | | | | | | | |
| JUN 45 GaZ A | SON 60 NEP WAS 11*56'11" | VEN 135 GzZ STI 26*56'11" | VEN 135 FY9 STI 19*18'18" | JUN 28*11'33" A | JUN 28*11'33" A | JUN 135 FY9 STI 17*15'11" | VEN 135 GSZ STI 17*15'11" | MER 150 FVY WAA 02*15'12" | Gsz 45 KN1 WID 25*32'07" | |
| 24:13 | | 23:44 | 23:34 | | | | | | | |
| JUN 45 GaZ A | SON 60 NEP WAS 11*56'11" | VEN 135 GzZ STI 26*56'11" | VEN 135 FY9 STI 19*18'18" | JUN 28*11'33" A | JUN 28*11'33" A | JUN 135 FY9 STI 17*15'11" | VEN 135 GSZ STI 17*15'11" | MER 150 FVY WAA 02*15'12" | Gsz 45 KN1 WID 25*32'07" | |
| 24:18 | | 23:44 | 23:34 | | | | | | | |
| JUN 45 GaZ A | SON 60 NEP WAS 11*56'11" | VEN 135 GzZ STI 26*56'11" | VEN 135 FY9 STI 19*18'18" | JUN 28*11'33" A | JUN 28*11'33" A | JUN 135 FY9 STI 17*15'11" | VEN 135 GSZ STI 17*15'11" | MER 150 FVY WAA 02*15'12" | Gsz 45 KN1 WID 25*32'07" | |
| 24:23 | | 23:44 | 23:34 | | | | | | | |
| JUN 45 GaZ A | SON 60 NEP WAS 11*56'11" | VEN 135 GzZ STI 26*56'11" | VEN 135 FY9 STI 19*18'18" | JUN 28*11'33" A | JUN 28*11'33" A | JUN 135 FY9 STI 17*15'11" | VEN 135 GSZ STI 17*15'11" | MER 150 FVY WAA 02*15'12" | Gsz 45 KN1 WID 25*32'07" | |
| 24:28 | | 23:44 | 23:34 | | | | | | | |
| JUN 45 GaZ A | SON 60 NEP WAS 11*56'11" | VEN 135 GzZ STI 26*56'11" | VEN 135 FY9 STI 19*18'18" | JUN 28*11'33" A | JUN 28*11'33" A | JUN 135 FY9 STI 17*15'11" | VEN 135 GSZ STI 17*15'11" | MER 150 FVY WAA 02*15'12" | Gsz 45 KN1 WID 25*32'07" | |
| 24:33 | | 23:44 | 23:34 | | | | | | | |
| JUN 45 GaZ A | SON 60 NEP WAS 11*56'11" | VEN 135 GzZ STI 26*56'11" | VEN 135 FY9 STI 19*18'18" | JUN 28*11'33" A | JUN 28*11'33" A | JUN 135 FY9 STI 17*15'11" | VEN 135 GSZ STI 17*15'11" | MER 150 FVY WAA 02*15'12" | Gsz 45 KN1 WID 25*32'07" | |
| 24:38 | | 23:44 | 23:34 | | | | | | | |
| JUN 45 GaZ A | SON 60 NEP WAS 11*56'11" | VEN 135 GzZ STI 26*56'11" | VEN 135 FY9 STI 19*18'18" | JUN 28*11'33" A | JUN 28*11'33" A | JUN 135 FY9 STI 17*15'11" | VEN 135 GSZ STI 17*15'11" | MER 150 FVY WAA 02*15'12" | Gsz 45 KN1 WID 25*32'07" | |
| 24:43 | | 23:44 | 23:34 | | | | | | | |
| JUN 45 GaZ A | SON 60 NEP WAS 11*56'11" | VEN 135 GzZ STI 26*56'11" | VEN 135 FY9 STI 19*18'18" | JUN 28*11'33" A | JUN 28*11'33" A | JUN 135 FY9 STI 17*15'11" | VEN 135 GSZ STI 17*15'11" | MER 150 FVY WAA 02*15'12" | Gsz 45 KN1 WID 25*32'07" | |
| 24:48 | | 23:44 | 23:34 | | | | | | | |
| JUN 45 GaZ A | SON 60 NEP WAS 11*56'11" | VEN 135 GzZ STI 26*56'11" | VEN 135 FY9 STI 19*18'18" | JUN 28*11'33" A | JUN 28*11'33" A | JUN 135 FY9 STI 17*15'11" | VEN 135 GSZ STI 17*15'11" | MER 150 FVY WAA 02*15'12" | Gsz 45 KN1 WID 25*32'07" | |
| 24:53 | | 23:44 | 23:34 | | | | | | | |
| JUN 45 GaZ A | SON 60 NEP WAS 11*56'11" | VEN 135 GzZ STI 26*56'11" | VEN 135 FY9 STI 19*18'18" | JUN 28*11'33" A | JUN 28*11'33" A | JUN 135 FY9 STI 17*15'11" | VEN 135 GSZ STI 17*15'11" | MER 150 FVY WAA 02*15'12" | Gsz 45 KN1 WID 25*32'07" | |
| 24:58 | | 23:44 | 23:34 | | | | | | | |
| JUN 45 GaZ A | SON 60 NEP WAS 11*56'11" | VEN 135 GzZ STI 26*56'11" | VEN 135 FY9 STI 19*18'18" | JUN 28*11'33" A | JUN 28*11'33" A | JUN 135 FY9 STI 17*15'11" | VEN 135 GSZ STI 17*15'11" | MER 150 FVY WAA 02*15'12" | Gsz 45 KN1 WID 25*32'07" | |
| 25:03 | | 23:44 | 23:34 | | | | | | | |
| JUN 45 GaZ A | SON 60 NEP WAS 11*56'11" | VEN 135 GzZ STI 26*56'11" | VEN 135 FY9 STI 19*18'18" | JUN 28*11'33" A | JUN 28*11'33" A | JUN 135 FY9 STI 17*15'11" | VEN 135 GSZ STI 17*15'11" | MER 150 FVY WAA 02*15'12" | Gsz 45 KN1 WID 25*32'07" | |
| 25:08 | | 23:44 | 23:34 | | | | | | | |
| JUN 45 GaZ A | SON 60 NEP WAS 11*56'11" | VEN 135 GzZ STI 26*56'11" | VEN 135 FY9 STI 19*18'18" | JUN 28*11'33" A | JUN 28*11'33" A | JUN 135 FY9 STI 17*15'11" | VEN 135 GSZ STI 17*15'11" | MER 150 FVY WAA 02*15'12" | Gsz 45 KN1 WID 25*32'07" | |
| 25:13 | | 23:44 | 23:34 | | | | | | | |
| JUN 45 GaZ A | SON 60 NEP WAS 11*56'11" | VEN 135 GzZ STI 26*56'11" | VEN 135 FY9 STI 19*18'18" | JUN 28*11'33" A | JUN 28*11'33" A | JUN 135 FY9 STI 17*15'11" | VEN 135 GSZ STI 17*15'11" | MER 150 FVY WAA 02*15'12" | Gsz 45 KN1 WID 25*32'07" | |
| 25:18 | | 23:44 | 23:34 | | | | | | | |
| JUN 45 GaZ A | SON 60 NEP WAS 11*56'11" | VEN 135 GzZ STI 26*56'11" | VEN 135 FY9 STI 19*18'18" | JUN 28*11'33" A | JUN 28*11'33" A | JUN 135 FY9 STI 17*15'11" | VEN 135 GSZ STI 17*15'11" | MER 150 FVY WAA 02*15'12" | Gsz 45 KN1 WID 25*32'07" | |
| 25:2 | | | | | | | | | | |

| | | | |
|------------|-----------------------------------------------------------------------------------|-----------------------------------------------------|---------------------------------------------------------------------------------------------------------------------------------------------------------------------------------------------------------------------------|
| 08.05.2013 |  | nachträglich korrigierte Premeteo-Index-Prognose | Die erste Hälfte des Monats zeichnet sich durch eine enge Positionierung von Sonne, Venus, Mars und schließlich noch Merkur aus. 9. bis 10. Dreifachkonjunktion Venus-Mars-Eris. 14. bis 19. Sonne Konjunktion Mars |
| April 2013 | | | |

| 01.04.2013 | | | | | | | | | | |
|---------------------------------------------------------------------------|------------------------------------------------------------------------------------------------------------------------------------------------------------------------------------------------------------|------------------------------------------------------------------------------------------------------------------------------------------------------------------|----------------------------------------------------------------------------------------------------------------------------------------|-----------------------------------------------------------------------------------------------------------------------------------|------------------------------------------------------------------------------------------------------------------------------------------------------|----------------------------------------------------------------------------------------------------------|------------------------------------------------------------------------------------------------------------------------------------------------------------------------|-------------------------------------------------------------------|------------------------------------------------------------------------------------------------------------------|----------------------------------------------------------------------------------------------------------------------------------------------------------------------------------------------------------------|
| Langsamläufer-Impulse | T* | | H* | | H* | | H* | 2 H* | | |
| Schnellläufer-Impulse | | | H, T | T | 3H, Hf, T | H, T | H | 4H, 2T | 2H | |
| Temperaturimpulse | W | W | | | K | W | K, W | | w? | |
| Premeteo-Index -zyklonal, +antizyklonal (Index 1+2+3) | -5 | -10 | -5 | 4 | 2 | -12 | 22 | 7 | -9 | |
| PreJX (ALTERNATIV) | 9 | | | -10 | -5 | | | 18 | 12 | |
| Index 1 (12 - 12 UTC) exakte Aspekte des Tages | 0 | -5 | 0 | 2 | 0 | 12 | 13 | -2 | 13 | |
| Index 1(ALTERNATIV) | | | | | | | | | 1 | |
| Symmetrien (0 - 0 UTC) | GaZ 67 Nep Hau (00) ? --- Pal 22 Ura Sed (06) H?*(42) 0+14 Mak 15op Ven Mer (14) T K Qua 15op Cer (18) A* H?* +7? Eri 9 Ven Pal (19) H A* +7? Son 4 Mar Ura (22) T W H K +7? | Eri 9 Son Pal (12) H A* +7? Ch 35 Mar Jun (19) H Qua 15op Cer (18) A* H?* +7? Eri 9 Ven Pal (19) H A* +7? Son 4 Mar Ura (22) T W H K +7? | Ura 23 Pal Mer (03) H Hau 2op Mar Mer (13) A ? --- Ven 7 Ura Eri (14) T H H W +7/-7 Ven 2 Son Mar (22) A W H W +7/-7 | Sed 37 Ven Cer (05) T GSZ 15op Ven Mer (17) T K? - Mer 166 Orc GSZ (20) T H? - Hau 3op Ven Eri (22) H ? --- +7? | Son 7 Ura En (04) H T K? - Mar 72 Jun Cer (11) H T H? - Chi 7 Nep Mer (19) H? (10) A +7? Ves 30 Var Sd (19) A* A* T? (0.5/4)-14 | Ven 72 Jun Cer (08) A T K? - Chi 7 Nep Mer (19) A* H?* +7? Ves 30 Son En (19) T W A* (-7) | Son 36 Chi Sed (01) ? --- Ven 2 Son Mar (04) H T K? - Sed 31 Ven Eri (16) A* ? T --- Eri 31 Sed Mer (20) Ves 60 Var Mer (19) T? (0.5/4) A T -7 | Hau 3op Son Ven (23) H H +14 H W +7/-7 | Hau 3op Son Mar (04) H T K? - Ven 1 Mar Eri (13) H W H +14 Hau 3op Son Ven (23) H H +14 H W +7/-7 | Sat 135 Ves Mer (03) A* A? W? H --- Ura 15 Ven Mer (05) Ven 29 Mar Mer (10) H T K A +7? Mar 2 Son Ven (16) T W H W -7? Mer 90 Ves Qua (17) H --- GSZ 7op Ura Mer (19) H?*(31) A +7? |
| Index 2 (12 - 12 UTC) | 0 | 0 | 0 | 7 | 7 | -28 | 0 | 0 | -7 | |
| Index 2 ALTERNATIV | 14 | | | -7 | 0 | | | | 0 | |
| ausgelöste LL-Aspekte | Ves 60 Eri T-5 | Ves 60 Eri T-5 | Ves 60 Eri T-5 | Ves 60 Eri T-5 | Ves 60 Eri T-5 | Mar 45 Nep H4 | Mar 45 Nep H4 Ves 144 Kn1 H5 | Mar 72 Jun H4 Ves 144 Kn1 H5 | Mer 30 Eri H1 Mer 30 Sed H?*(30) 0+11 | |
| Aus durch Index 2: Mar 30 Sed Tf-10 Mer 30 Sed H?*(30) 0+11 | | | | | | | | | | |
| Index 3 (Summe) | -5 | -5 | -5 | -5 | -5 | 4 | 9 | 9 | 1 | |
| Index 3 ALTERNATIV | | | | | | | | | 10 | |
| Symbol-Prognose | 3 | 5 | 3 | 3 | 3 | 3 | 2 | 2 | 11 | |
| Symbol-Prognose altern. | 3 | 5 | 3 | 5 | 3 | 3 | 2 | 2 | 3 | |
| Wochentag | Mo | Di | Mi | Do | Fr | Sa | Su | Mo | Di | |
| Datum | 1 | 2 | 3 | 4 | 5 | 6 | 7 | 8 | 9 | |
| Mo | | | | | | | | | Mi | |
| reale Wetterlage | H1: - / - | T1: T? / -15 | | H2: H*, H-T / +4 | T2: 2T - H*, Hf, 3H / -12 | H3: H-T / +29 | T3: ?, Tf, ST - 3H*, H?*, 7H / +69 | | | |
| Lufdruck (hpa) 06 UTC | 1008,5 | 1006,4 | 1011,2 | 1008,8 | 1005,1 | 1014 | 1021,7 | 1008,4 | 1004,4 | |
| mittl. Temp.(°C) | 3,7 | 3 | 4,4 | 5,5 | 3,9 | 4,7 | 5,3 | 6 | 8,5 | |
| Sonnenscheindauer (h) | 11,5 | 8,2 | 0,6 | 9,4 | 4,6 | . | 2,6 | 0,7 | 2,6 | |
| Niederschlag (Liter) | . | . | . | . | . | . | 0,0 | 0,8 / 1 | 6 / 5 | |
| Bodenwetterlage 00 UTC (Kernlage des Druckgebietes, das SW-D beeinflusst) | H ü Nsee | T ü Korsi, H ü N-Nsee | H ü Balk, H ü S-Skand | H ü W-R u bei Island T ü Balearen | T ü GG, S-F okki T ü GG T ü Karp T ü Nm | H ü Ärmel | H ü Polen, T sw Irland | T s Irland | T ü Niederl., H ü S-F | |
| Bodenströmung 12 UTC zyklonal (z), antizyklonal (a) | a-z | a-z | fl a-z | a-z | a-z | a-z | a | z | fl a | |
| Strömung auf 500 hpa 00 UTC | NW z | W z | NO a-z | SW z | S a-z | fl z | SW z | a | SW fl z | |
| zutreffende Wettersymbole | 2 hr | 2-5 hr | 5 hr | 3 r | 3-5 hr | 5 hr | 2-5 hr | 5 f | 5 hr | |
| 01:54 | 08:25 | 05:43 | 01:48 | 01:49 | 04:59 | 03:12 | 00:04 | 01:13 | | |
| Übertrag Index und Index2 0 | MER 144 EL6 FIS 13*4302* WAA 19*4302* A W | SON 144 KN1 WID 12*4522* SKO 18*4523* A | VES 0 APO ZWI 22*4423* ZWI 22*4423* A* | MAR 135 ORC WID 18*2019* JUN 03*2020* A | VEN 150 KN1 WID 18*3332* SKO 18*3333* H +5 | SON 150 KN1 WID 18*5746* SKO 18*5746* H W +4 | PAL 144 FY9 WID 18*2701* SKO 18*2700* A K | VEN 90 VAR STI 04*2758* JUN 28*2757* A* | | |
| 03:06 | 10:53 | 07:49 | 02:01 | 09:04 | 23:31 | 11:11 | 00:58 | 03:36 | | |
| SON 90 PLU | VES 60 ERI WID 11*3304* STE 11*3304* A | SON 144 KN1 WID 12*4817* SKO 18*4816* A | PAL 150 GSZ VES 30 SED STI 02*1514* ZWI 23*0057* WAA 02*1513* A* | MAR 150 KN1 WID 18*3652* SKO 18*3653* H +5 | MER 30 ERI WID 18*1758* JUN 03*1759* A | MER 30 ERI WID 22*1344* WID 22*1344* H +1 | SON 72 JUN WID 22*1406* WID 22*1407* A | VEN 0 ERI SON 72 JUN WID 20*2556* WAS 08*2556* | | |
| 10:32 | | 09:50 | 09:51 | 10:43 | | 22:19 | 02:32 | 05:12 | | |
| VEN 144 KN1 | | MER 45 PAL FIS 17*1736* STI 02*1736* ZWI 29*5110* A | MAR 150 KN1 WID 18*3540* WID 19*2301* SKO 18*3539* H +1 | MAR 45 NEP WID 19*2301* FIS 04*2301* A | MER 30 ERI WID 19*1400* KRE 01*1400* H +1 | SON 72 CER WID 19*1400* KRE 01*1400* A W | MER 60 SED FIS 23*0334* STI 23*0333* A | MER 60 D ERI FIS 23*0334* WID 22*1454* STI 23*0333* A | | |
| 12:26 | | 10:30 | 12:33 | 11:23 | | 23:41 | 03:56 | 05:31 | | |
| SON 60 JUP | | MAR 72 CER WID 17*5109* FIS 18*3519* ZWI 29*5110* A W | MER 120 KN1 WID 18*3518* SKO 18*3518* T -4 | MER 120 KN1 WID 18*3518* SKO 18*3518* A H +4 | MER 60 PAL FIS 04*2731* STI 04*2730* H +5 | SON 45 NEP WID 19*2748* FIS 04*2749* A W? | MER 135 SAT FIS 24*3304* SKO 09*3303* A W? | MER 135 SAT FIS 24*3304* SKO 09*3303* A W? | | |
| 20:26 | | 21:21 | 17:42 | 12:07 | | 04:29 | 09:52 | | | |
| PLU 60 CHI | | MER 30 MAR STE 11*3408* FIS 11*3408* A?*(3/3) | MER 30 MAR FIS 18*5037* WID 18*5037* KRE 00*1650* T -2 | VEN 135 ORC WID 19*3628* JUN 03*1940* A | MER 45 JUN FIS 23*0957* WAS 08*0957* H --- | MER 45 JUN FIS 23*0957* WAS 08*0957* H +1 | MER 45 JUN FIS 23*0957* WAS 08*0957* H +1 | MER 45 JUN FIS 23*0957* WAS 08*0957* H +1 | | |
| 21:21 | | 20:26 | 14:02 | | 17:57 | 05:20 | 21:39 | | | |
| VEN 72 JUN | | VEN 135 ORC WID 19*1941* JUN 03*1940* A | MAR 180 EL6 WID 19*3628* WAA 19*3627* A | VEN 72 JUN WID 19*3032* WAS 07*3031* A | VEN 144 KN1 WID 19*3330* WAA 19*3330* H +5 | NEP 60 PAL FIS 04*2749* STI 04*2730* H +5 | NEP 60 PAL FIS 04*2749* STI 04*2730* A | NEP 60 PAL FIS 04*2749* STI 04*2730* A | | |
| 22:03 | | 22:03 | 20:12 | | 21:21 | 10:19 | | | | |
| VEN 180 EL6 | | VEN 72 JUN WID 19*3032* WAS 07*3031* A | SED 30 APO STI 23*0207* ZWI 23*0206* A* | VEN 30 APO WID 19*3616* WAA 19*3615* H +4 | MER 72 PLU FIS 23*3501* SITE 11*3502* A | MER 72 PLU FIS 23*3501* SITE 11*3502* A | MER 72 PLU FIS 23*3501* SITE 11*3502* A | MER 72 PLU FIS 23*3501* SITE 11*3502* A | | |
| 22:03 | | 17:04 | | | 21:21 | 10:19 | | | | |
| VEN 180 EL6 | | | | | 21:21 | 10:19 | | | | |
| 18:47 | | | | | | 10:19 | | | | |
| SAT 135 VES | | | | | | | | | | |
| SKO 09*3455* | | | | | | | | | | |
| ZWI 24*3455* | | | | | | | | | | |
| A * | | | | | | | | | | |
| 22:40 | | | | | | | | | | |
| JUN 135 APO | | | | | | | | | | |
| WAS 08*2232* | | | | | | | | | | |
| ZWI 23*2232* | | | | | | | | | | |
| H * | | | | | | | | | | |
| 23:05 | | | | | | | | | | |
| VEN 60 APO | | | | | | | | | | |
| WID 23*2237* | | | | | | | | | | |
| ZWI 23*2239* | | | | | | | | | | |
| A K? | | | | | | | | | | |

April 2013  nachträglich korrigierte
 Premeteo-Index-Prognose

| Langsamläufige Impulse | ?", H?" | | H" | | | H" | | H", T" | T" | T" | | | | | |
|--------------------------------------------------------------------------|------------------------------------------------------------|-----------------------------|-----------------------------|--------------------------------|------------------------------------|----------------------|-------------------------------------------------------------------------------------------------------------------------------------------|----------------|-------------------|----------------------------------------------------------------------------------------------------------------------------------------------|----|-----------------------------------------------------------------------------------------------------------------|--|---------------------------------------------------------------------------------------------------------------------|--|
| Schnellläufige Impulse | Tf, 3T | T, H | H | 2T | H | 3H, 3T | T | T, 2H | H, 2T | T | | | | | |
| Temperaturimpulse | | W | W | | | K | K | 2W | W, W" | | | | | | |
| Premeteo-Index - zyklonal + antizyklonal (Index 1+2+3) | -11 | 8 | 7 | 1 | -6 | -6 | -4 | 4 | -9 | -14 | | | | | |
| Pre.IX (ALTERNATIV) | 0 | 19 | 18 | | | 8 | | | | -23 | | | | | |
| Index 1 (12 - 12 UTC) exakte Aspekte des Tages | -18 | 8 | 7 | -2 | -2 | -9 | 0 | 7 | 1 | -19 | | | | | |
| Index 1(ALTERNATIV) | 0 | 12 | | | | | | | | | | | | | |
| Symmetrien (0 - 0 UTC) | Eri 1 Son Mar (06) H A* Mer 89 Ves GaZ (07) H T A*+? | | | Son 1 Mar Eri (04) T W H +? | | | Ven 8 Pal Eri (05) A H +? Mar 4 Ves Eri (17) H A* +? Pal 15 Sed Eri (18) H*? (30) 0/+? Cer 8op Plu Qua (23) A* H* +? | | | Son 5 Ven Eri (04) A W H +? Ven 22 Ura Sed (09) HT (42) 0/+14 Sat 144 Jup Mer (12) A* H +? Eri 72 Jun Cer (22) A* T* -? | | Cer 7op Plu Qua (05) A H +? Ven 5 Mar Pal (05) H W A +? Hau 10op Son Ura (23) H +? (S/1,5) +? | | Ven 60 Nep Cer (01) H W A W T* W* -14 Son 10op Sat Hau (01) H +? Hau 10op Mar Ura (05) A H*? (5/1,5) +? | |
| | | | | | | | | | | | | | | | |
| Index 2 (12-12 UTC) | 7 | 0 | 0 | 7 | 0 | 7 | 0 | -7 | -14 | 0 | | | | | |
| Index 2 ALTERNATIV | | | | | 21 | | | | | | | | | | |
| ausgelöste LL-Aspekte | Eri 30 Sed H? (30) 0/+11 | Eri 30 Sed H? (30) 0/+11 | Eri 30 Sed H? (30) 0/+11 | Mar 60 Ves T-4 | Mar 60 Ves T-4 | Mar 120 GaZ T-4 | Mar 120 GaZ T-4 | Mar 150 Mak H4 | Mar 150 Mak H4 | Mar 45 Jup T-4 Ura 144 Orc H? (6/3,5) +9/0 | | | | | |
| | | | | | | | | | | | | | | | |
| Index 3 (Summe) | 0 | 0 | 0 | -4 | -4 | -4 | -4 | 4 | 4 | 5 | | | | | |
| Index 3 ALTERNATIV | 11 | 11 | 11 | | | | | | | -4 | | | | | |
| Symbol-Prognose | 3 | 3 | 3 | 3 | 3 | 3 | 3 | 3 | 3 | 5 | | | | | |
| | 2 | 2 | 2 | 3 | 3 | 3 | 3 | 3 | 3 | 5 | | | | | |
| Wochentag | Do | Fr | Sa | Sa | Mo | Mo | Di | Mi | Do | Fr | Sa | | | | |
| Datum | 11 | 12 | 13 | 14 | 15 | 16 | 17 | 18 | 19 | 20 | | | | | |
| reale Wetterlage | | H4: H*, 2H - 3T / +10 | | | T4: T*, ST - 2H*, 6H / -12 | | | | H5: H-T*, 2T / -9 | T5: - | | | | | |
| Luftdruck (hpa) 06 UTC | 1005,3 | 1007,9 | 1018,9 | 1025,5 | 1022,1 | 1020,6 | 1024,8 | 1017 | 1023,4 | 1023,9 | | | | | |
| mittl. Temp.(°C) | 13 | 11,5 | 12,1 | 17,3 | 18,6 | 17,4 | 18,2 | 18 | 11,5 | 8,7 | | | | | |
| Sonnenscheindauer (h) | . | 4,1 | 6,1 | 10,5 | 10,6 | 6,1 | 10,2 | 4,2 | 0,7 | . | | | | | |
| Niederschlag (Liter) | 15 / 20 | 0,2 / 2 | 0,1 / 1,5 | . | 0,1 | . | . | 0,5 / 0,5 | 0,0 | 0,7 / 0,5 | | | | | |
| Bodenwetterlage 00 UTC (Kernlage des Druckgebiets, das SW-D beeinflusst) | H ü O-Alp, T ü Ärmel u O-Atl | T ü Irl u N-D | H ü S-F | H ü Alpen | H ü N-Polen, T zw Isl u Schottl | Okkl-Rinne ü SW D | fl H-p ü Alp, H ü SW-R, T w Biskaya | T ü Schottl | Azorenhoch | H ü SW GB, T ü GG | | | | | |
| Bodenstromung 12 UTC zyklonal (z), antizyklonal (a) | z | fl a | a | fl a | fl z | fl z | fl z | z | fl z | O z | | | | | |
| Strömung auf 500 hpa 00 UTC | fl a | SW a-z | W fl z | NW a | SW a | W fl a | W fl a | SW a | SW a-z | S z | | | | | |
| zutreffende Wettersymbole | 5 hr | 3 r | 3 r | 2 hr | 2 hr | 3 r | 2-3 r | 3 r | 5 hr | 5 r | | | | | |

| | | | | | | | | | |
|----------------------------------------------------------------|---------------------------------------------------------|------------------------------------------------------------------------|-----------------------------------------------------------------------|---------------------------------------------------------------------|-------------------------------------------------------|------------------------------------------------------|--------------------------------------------------------|-----------------------------------------------------|--------------------------------------------------------------------|
| 04:05 | 00:10 | 00:01 | 00:00 | 01:42 | 03:20 | 02:09 | 00:21 | 03:17 | 00:49 |
| NEP 135 EL6 FIS 04'31'16" WAA 19'31'16" ? | MAR 60 APO WID 23'36'18" ZWI 23'36'19" T-2 / 0 | MER 180 FY9 FIS 28'23'47" WID 28'22'44" JUN 28'23'45" H +2 | VEN 150 FY9 FIS 28'23'47" WID 28'22'44" JUN 28'23'45" T-2 | CER 60 ORC KRE 03'12'51" WID 03'12'51" JUN 03'12'50" A* | MER 135 KN1 WID 03'01'35" SKO 18'01'34" A | SON 45 CHI WID 27'14'03" FIS 12'14'04" A | SON 0 MAR WID 28'08'20" FIS 04'44'02" T W --- | VEN 60 NEP WID 28'08'20" FIS 04'44'02" T-2 | MER 144 ORC WID 09'09'45" JUN 03'09'47" H W +2 |
| 07:39 | 00:29 | 03:36 | 10:21 | 05:57 | 04:53 | 03:09 | 04:32 | 05:15 | 06:11 |
| MAR 30 SED WID 23'05'02" STI 23'05'02" TI-10 / 0 | SON 0 ERI WID 22'16'05" WID 22'16'04" H +6 | SAT 150 URA SKO 09'20'42" WID 09'20'42" A* | MAR 120 QUA WID 25'26'17" SKC 25'26'18" A | SON 120 QUA WID 25'25'55" SKC 25'25'56" A | MER 144 SAT WID 03'12'29" SKO 09'07'28" H +1 | VEN 150 GSZ WID 03'12'29" SKO 09'07'28" A | SON 150 FV9 WID 28'18'33" JUN 28'18'32" H +3 | PAL 45 APO WID 28'18'33" STI 09'24'31" A* | SON 45 JUP WID 09'24'31" STI 00'19'48" ZWI 24'24'31" A |
| 08:55 | 03:11 | 06:29 | 17:19 | 15:05 | 06:05 | 05:15 | 05:45 | 10:15 | 07:33 |
| VEN 60 VES WID 25'07'25" ZWI 25'07'24" A* | CER 90 GSZ KRE 02'15'13" WAA 02'15'13" A | SAT 150 URA SKO 09'20'42" KRE 23'29'38" A | VEN 45 JUP WID 29'16'20" ZWI 14'16'20" A | MER 180 GSZ WID 02'15'14" ZWI 14'16'20" A | MER 150 ORC WID 03'12'03" JUN 03'12'04" A | MAR 150 FV9 WID 04'41'06" FIS 04'41'06" A K | MAR 45 SED WID 08'10'43" STI 23'10'42" H +4 | MER 45 APO WID 08'10'43" STI 23'10'42" T-1 | VES 90 FV9 WID 28'16'29" JUN 28'16'29" T-5 |
| 12:56 | 07:55 | 10:31 | 17:29 | 18:31 | 06:42 | 06:01 | 07:43 | 14:59 | 09:21 |
| URA 144 ORC WID 09'15'17" JUN 03'15'17" H?"(6/0,5) +9 | VES 180 QUA ZWI 25'27'11" JUN 25'27'11" A* | SAT 90 JUN SKO 09'19'28" WAS 09'19'28" H +5 | CER 135 KN1 KRE 03'06'03" SKO 18'06'03" A* | MER 72 JUP WID 28'21'11" ZWI 14'21'11" H +1 | MAR 60 VES WID 26'49'56" ZWI 26'49'56" A | JUN 72 ER1 WAS 10'19'31" ZWI 22'19'31" A | SAT 180 PAL SKO 08'58'07" STI 08'58'07" H +5 | SAT 180 PAL SKO 08'58'07" FIS 04'44'46" A* | NEP 120 CER KRE 04'44'45" WID 09'44'39" A |
| 15:23 | 20:01 | 13:27 | 21:35 | 10:00 | 14:14 | 08:55 | 20:11 | 14:22 | |
| VEN 120 QUA WID 25'27'27" SKC 25'27'27" T-2 | VEN 120 GaZ WID 26'56'07" SKC 26'56'06" A | VEN 60 APO WID 23'46'43" ZWI 23'46'42" A W | APO 144 KN1 WID 24'02'20" SKO 18'02'20" A* | MAR 120 GaZ WID 26'56'09" SKC 26'56'08" T-8 | JUN 45 QUA WAS 10'24'48" SKC 25'24'48" A* | JUP 144 SAT WID 26'57'54" SKO 08'57'54" A | Ura 30 PAL WID 09'42'25" STI 09'42'51" A* | Ura 30 PAL WID 09'42'25" STI 10'05'14" A | MER 30 PAL WID 09'44'38" WID 09'44'39" A |
| 20:32 | 20:52 | 14:41 | 11:36 | 21:21 | 10:15 | 19:03 | 20:17 | | |
| MAR 90 VAR KRE 23'29'25" STI 23'29'25" T-8/T-1 | SON 30 SED WID 23'06'04" JUN 23'06'05" A | URA 60 JUN WID 09'22'15" WAS 09'22'15" A* | SAT 135 APO SKO 09'06'14" ZWI 24'06'14" A?"(12,65) | MAR 120 ORC STI 03'11'03" JUN 03'11'03" A | CER 72 ERI WID 22'20'18" T -5 | MER 150 SAT WID 08'51'19" SKO 08'51'20" A | MER 150 SAT WID 08'51'19" SKO 08'51'20" T -2 | | |
| 23:13 | 21:42 | | 13:43 | 21:12 | 10:15 | 18:51 | | | |
| MER 90 GaZ FIS 26'56'06" SKC 26'56'06" T -1 | VEN 45 CHI FIS 27'01'19" SKC 27'01'19" A W | | VES 180 GaZ ZWI 26'56'08" SKC 26'56'08" A* | MER 90 CER WID 03'43'16" KRE 03'43'15" H K+1 | VEN 60 CER STI 04'31'16" KRE 04'31'15" A W | VEN 60 CER STI 04'31'16" KRE 04'31'15" A W | VEN 60 CER STI 04'31'16" KRE 04'31'15" A W | VEN 60 CER STI 04'31'16" KRE 04'31'15" A W | |
| | | | 14:15 | | | 19:03 | | | |
| | | | 21:43 | | | 20:36 | | | |
| | | | 21:49 | | | 21:49 | | | |
| | | | | | | | | | |

April 2013



nachträglich korrigierte
Premeteo-Index-Prognose

| Langsamläufer- Impulse | H*, T* | | 2H* | H* | | | | | | |
|--------------------------------------------------------------------------------|-------------------------------------------------------------------------------------------------------------------------------------------------------------------------------------------------------------------------------------------------------|-------------------------------------------------------------------------------------------------------|----------------------------------------------------------------------------------------------------------------------------------|------------------------------------------------------------------------------------------------------------------------------------------------------------------------------|---------------------------------------------------------------------------------------------------------------|------------------------------------------------------------------------------------------------|---------------------------------------------------------------|----------------------------------------------------------------------------------------------------|--------------------------------|---------------------|
| Schnellläufer- Impulse | | H | 2H | T | 2H | T | Tf, H | T, H | 2T, H | 2T, Tf, Hf, H |
| Temperaturimpulse | W | K | | 3W, K | | | W | | W?, K, W | |
| Premeteo-Index - zyklonal, + antizyklonal (Index I+2+3) | 8 | -1 | 3 | 17 | 16 | 7 | -10 | 7 | -4 | -10 |
| Pre.IX (ALTERNATIV) | 18 | | | 12 | | | | 18 | | |
| Index 1 (12 - 12 UTC) exakte Aspekte des Tages | -4 | 3 | 3 | 10 | 6 | 2 | -10 | 7 | 1 | -12 |
| Index 1(ALTERNATIV) | 1 | | | 5 | | | | | | |
| Symmetrien (0 - 0 UTC) | Mer 9op Hau GSZ (01) H A +7? Sat 2op Ven Pal (03) A +7? Qua 10 Jup Cn (03) A*(106) H +7? Son 9 Pal Er (09) A H +7? Son 22 Ura Sed (11) H? (4/2) ... Sed 22 Mar Jup (14) T --- Ven 15 Sel Eri (15) H?*(30) 0/14 | Eri 10 Son Mer (03) H +7? Eri 9 Mar Mer (12) A* H +7? Mar 22 Ura Sed (13) H?*(4/2) ... | Hau 3op Eri Mar (04) H +7? Mer 6 Ura Er (04) A H +7? Sed 37 Ves Mer (11) H --- Sat 4op Son Pal (20) H H +7? | Sat 4op Son Ven (00) H A +7? Mer 35 Chi Sed (04) H +7? Ven 136 Mak GaZ (11) A W T? 0 Pal 136 Mak GaZ (16) A* A* T? 0 Sat 4op Mar Pal (22) A H +7? | Mak 135 Pal Jun (12) H W H W +7? Ven 9 Mar Sed (13) A* A* H --- Ven 8 Son Sed (21) A W H W +7? | Son 15 Sed Eri (00) H +7? Sat 15op Sed Mer (02) A T --- Mer 14 Son Ura (17) T 0 | Mer 72 Jun Cer (10) A T -14 Sat 10p Son Mar (15) H A +7 | Hau 9op Ura Mer (15) H?* (5/1) H +7? Mer 9op Sat Hau (22) H +7? Ven 4 Pal Sed (22) A H W +7? | | |
| Index 2 (12 - 12 UTC) | 7 | 0 | 0 | 7 | 0 | 0 | 0 | 0 | -7 | 0 |
| Index 2 ALTERNATIV | 21 | | | | | | | | | |
| ausgelöste LL-Aspekte | Mar 45 Jup T-4 Ura 144 Orc H?*(6/0,5) 9/0 | Mar 45 Jup T-4 | | Pal 120 Plu H5 Jun 90 Pal H5 | Jun 90 Pal H5 | | Eri 30 Sed H?*(3/0) | Ven 135 GSZ H2 | Ven 135 GSZ H2 | |
| Index 3 (Summe) | 5 | -4 | 0 | 0 | 10 | 5 | 0 | 0 | 2 | 2 |
| Index 3 ALTERNATIV | -4 | | | | | | 11 | | | |
| Symbol-Prognose | 3 | 3 | 3 | 2 | 2 | 3 | 3 | 3 | 3 | 5 |
| 3 | 3 | 3 | 2 | 2 | 3 | 3 | 2 | 3 | 3 | 5 |
| Wochentag | So | Mo | Di | Mi | Do | Fr | Sa | So | Mo | Di |
| Datum | 21 | 22 | 23 | 24 | 25 | 26 | 27 | 28 | 29 | 30 |
| reale Wetterlage | 2T*, T - H / -7 | | H6: 3H*, 4H - T / +36 | | T6: Tf, T - H / -3 | | H7: H, T / +7 | T7: Tf, T4 - Hf, 2H / -14 | | |
| Luftdruck (hpa) 06 UTC | 1019,7 | 1018,1 | 1022,7 | 1027,7 | 1026,5 | 1015,3 | 1006,3 | 1014,3 | 1018,1 | 1018,5 |
| mittl. Temp.(°C) | 10,1 | 11,3 | 13,2 | 14,7 | 16,9 | 14,9 | 7,8 | 8,2 | 10,1 | 10,6 |
| Sonnenscheindauer (h) | . | 0,8 | 8,6 | 12,5 | 13,2 | 1,2 | . | 0,1 | . | . |
| Niederschlag (Liter) | . | 0,0 | . | . | . | 23 / 23 | 10 / 19 | 0,1 | 0,4 | 0,1 / 1,5 |
| Bodenwetterlage 00 UTC (Kernlage des Druckgebiets, das SW-D beeinflusst) | T ü GG H ü Osee | fl T ü D fl T ü GG | H ü O-Alpen | H ü Alpen | H ü Alpen | H ü Balk, Tief ü Skand | T-Rinne von NW- R ü g D bis T ü Portugal | H ü Nm-All, T ü N-Polen | T-Ausläufer ü Alpen, T ü Nm | T ü W-Mm, T ü Nm |
| Bodenströmung 12 UTC zyklonal (z), antizyklonal (a) | a-z | a-z | fl a | a | a | fl z | z | fl a | a-z | a-z |
| Strömung auf 500 hpa 00 UTC | SO fl z | a-z | NO fl a | fl a | a | SW fl a | SW z | SW a-z | SW a-z | SW a-z |
| zutreffende Wettersymbole | 5 hr | 5 hr | 2 hr | 2 r | 2 r | 5 hr | 5 hr | 5 hr | 5 hr | 5 r |

| | | | | | | | | | | |
|---------------|---------------|---------------|---------------|---------------|---------------|---------------|---------------|---------------|---------------|-------|
| 04:05 | 00:43 | 03:13 | 03:26 | 06:17 | 02:12 | 01:48 | 03:13 | 00:58 | 00:58 | 00:58 |
| MAR 45 JUP | MER 30 CHI | SON 120 ORC | MER 60 JUP | VEN 90 JUN | MAR 144 FY9 | MAR 60 NEP | MER 30 SED | VEN 72 NEP | JUP 150 KN1 | |
| STI 00*30'29" | WID 12*28'16" | STI 03*08'07" | WID 16*05'44" | STI 12*17'57" | STI 04*11'11" | STI 04*55'08" | WID 23*17'08" | STI 16*57'37" | ZWI 17*12'24" | |
| ZWI 15*30'29" | FIS 12*28'17" | JUN 03*08'06" | ZWI 16*05'43" | WAS 12*17'58" | JUN 28*11'11" | FIS 04*55'08" | STI 23*17'07" | FIS 04*57'37" | SKO 17*17'24" | |
| T -4 | H +3 | A | AW | A | A | TI W -10 | T -1 | A W? | A* | |
| 04:39 | 04:32 | 06:54 | 05:48 | 06:37 | 06:53 | 08:29 | 07:00 | 03:37 | 01:41 | |
| PAL 135 QUA | MER 72 APO | VEN 45 APO | SON 144 FY9 | MER 72 VES | MER 45 NEP | QUA 180 APO | MER 90 VAR | MER 72 JUN | MER 120 GaZ | |
| STI 10*22'50" | WID 12*44'22" | STI 09*51'44" | STI 04*21'51" | WID 18*05'24" | WID 19*54'04" | SCH 25*18'54" | WID 23*34'44" | WID 25*11'24" | WID 26*56'15" | |
| SCH 25*22'50" | ZWI 24*44'22" | ZWI 24*51'43" | JUN 28*12'50" | KRE 00*05'26" | KRE 04*54'06" | ZWI 25*18'54" | KRE 23*34'46" | WAS 13*11'24" | SCH 26*56'13" | |
| H* +5 | A | A | A | A | H +1 | A* | A | A | A | |
| 08:51 | 04:34 | 07:41 | 08:00 | 06:59 | 19:36 | 16:14 | 08:28 | 03:52 | 11:27 | |
| MER 60 JUN | PLU 30 JUN | VEN 30 URA | PAL 135 Gz | MER 135 ORC | PAL 135 FY9 | MER 0 ERI | SON 180 SAT | VEN 30 JUP | SON 30 URA | |
| WID 11*21'46" | STE 11*33'51" | STE 09*54'09" | STI 11*56'11" | WID 18*07'02" | STI 13*10'34" | WID 22*26'17" | STI 08*12'48" | STI 17*06'33" | STI 10*16'37" | |
| WAS 11*21'46" | WAS 11*33'51" | WID 09*54'07" | SCH 26*56'11" | JUN 03*07'03" | JUN 28*10'33" | WID 22*26'17" | SKO 08*12'49" | ZWI 17*06'35" | WID 10*16'38" | |
| A | A | A | A | A | A | H +2 | H +6 | T K --- | T -3 | |
| 11:48 | 05:30 | 12:03 | 15:44 | 09:32 | 22:49 | 16:49 | 09:27 | 04:56 | 11:27 | |
| MER 90 PLU | SON 150 GSZ | MAR 150 GSZ | VEN 120 PLU | VEN 0 PAL | CHI 30 JUN | MER 0 ERI | SON 180 SAT | VEN 30 JUP | SON 30 URA | |
| WID 11*34'05" | STI 02*15'12" | STI 02*15'13" | STI 11*33'04" | STI 12*27'59" | FIS 12*41'31" | WID 22*26'17" | STI 08*12'48" | STI 17*06'33" | STI 10*16'37" | |
| STE 11*34'03" | WAA 02*15'13" | WAA 02*15'12" | STE 11*33'03" | STI 12*27'59" | WAS 12*41'31" | STI 07*34'47" | WAA 02*15'12" | SCH 25*17'34" | SCH 25*16'38" | |
| A | H +3 | A | A | A | A | A* | A | A | A | |
| 12:55 | 07:44 | 13:01 | 15:44 | 12:43 | | 12:00 | 06:21 | 12:59 | | |
| CER 144 JUN | VEN 180 SAT | PAL 72 VAR | VEN 72 VAR | VEN 60 CHI | | VEN 45 VES | SAT 120 CER | MER 45 CHI | | |
| KRE 05*24'16" | STI 08*40'12" | STI 11*32'35" | STI 11*33'04" | STI 12*37'48" | | STI 16*17'39" | SKO 08*08'40" | WID 27*50'31" | | |
| WAS 11*24'16" | SKO 08*40'12" | KRE 23*32'36" | KRE 23*33'04" | FIS 12*37'48" | | KRE 01*17'38" | KRE 08*08'40" | FIS 12*50'33" | | |
| T -5/0 | AK | A* | A | A | | A | A* | A | A | |
| 14:14 | 13:41 | 15:58 | 17:51 | | 22:51 | 08:00 | 17:36 | | | |
| 23:38 | 16:29 | 21:13 | 22:00 | 23:34 | | 08:00 | 17:36 | | | |
| VEN 144 GSZ | VEN 135 QUA | PAL 90 JUN | MER 180 EL6 | | | MER 60 APO | GSZ 45 KN1 | | | |
| STI 08*15'12" | STI 10*21'19" | STI 12*12'38" | WID 19*14'19" | | | WID 25*32'07" | WAA 02*15'12" | ZWI 25*32'08" | SKO 17*15'12" | |
| WAA 02*15'13" | SCH 25*21'20" | WAS 12*12'38" | WAA 19*14'19" | H +2 | | T -1 | A* | A* | A* | |
| A W | H +5 | A | H +5 | A | | | | | | |
| 17:32 | 22:00 | 23:34 | | | | 08:07 | 19:35 | | | |
| JUN 45 GaZ | SON 60 NEP | VEN 135 F9Y | | | | VEN 180 KN1 | VEN 150 EL6 | | | |
| WAS 11*56'11" | STI 04*52'17" | STI 13*11'17" | | | | STI 17*19'39" | STI 19*08'58" | | | |
| SCH 26*56'11" | FIS 04*52'17" | JUN 28*11'17" | | | | SKO 17*19'38" | WAA 19*08'57" | H +2 | | |
| H* +5 / 0 | A W | A | A | | | | | | | |
| 23:14 | | | | | | 16:58 | 21:58 | | | |
| 23:25 | | | | | | CER 45 SED | VEN 144 QUA | | | |
| MER 150 KN1 | | | | | | KRE 08*18'18" | STI 19*16'18" | | | |
| WID 17*33'30" | | | | | | STI 23*18'18" | SCH 25*16'18" | | | |
| SKO 17*33'30" | | | | | | A* | A | | | |
| A | | | | | | 17:55 | 22:14 | | | |